

Modélisation numérique de fibres en contact

Application à la synthèse de chevelures réalistes



Florence Bertails-Descoubes

Inria, équipe BiPop - Laboratoire Jean Kuntzmann (Grenoble)

17 avril 2015, Collège de France

“Modélisation numérique d’objets mécaniques complexes appliquée à la synthèse d’images”

Caractéristiques

- Phénomènes **visuellement** riches
Forme, mouvement complexes
- Modélisation à deux niveaux
 - Mécanique (équations continues)
 - **Numérique** (équations discrètes)



[Pai 2002]

“Modélisation numérique d’objets mécaniques complexes appliquée à la synthèse d’images”

Caractéristiques

- Phénomènes **visuellement** riches
Forme, mouvement complexes
- Modélisation à deux niveaux
 - Mécanique (équations continues)
 - **Numérique** (équations discrètes)

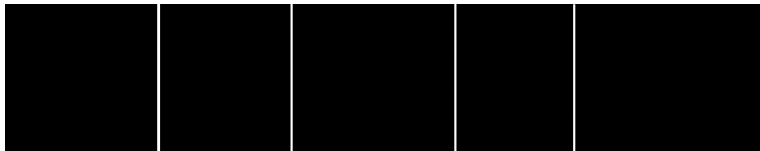


[Pai 2002]

Propriétés requises pour les modèles

Réalisme, robustesse, efficacité, et contrôle utilisateur

En plein essor dans l'industrie du loisir numérique



Final Fantasy (2000)

Les Indestructibles (2005)

Avatar (2009)

Raiponce (2010)

Rebelle (2012)

En plein essor dans l'industrie du loisir numérique



Final Fantasy (2000)


Les Indestructibles (2005)

Avatar (2009)

Raiponce (2010)

Rebelle (2012)

Difficultés

- Système **complexe** 
- Aucun modèle de référence, peu de résultats expérimentaux

I. Modélisation directe

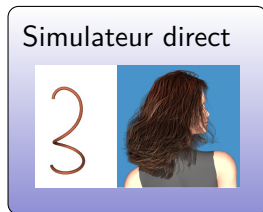
Phénomène physique



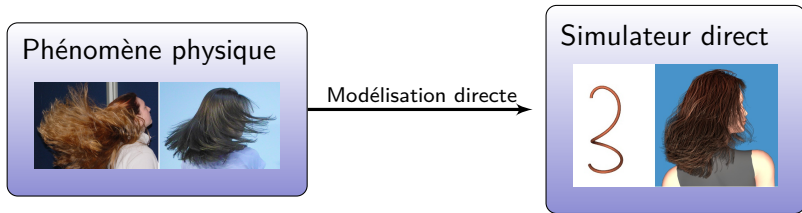
I. Modélisation directe



Modélisation directe

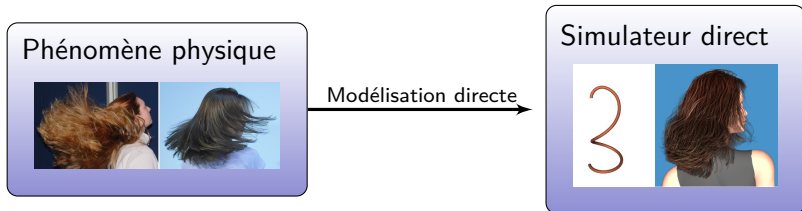


I. Modélisation directe



- 1 Modèle réduit de fibre
- 2 Modèle de contact frottant

I. Modélisation directe



- 1 Modèle réduit de fibre
- 2 Modèle de contact frottant

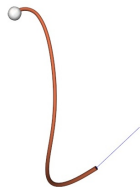
Propriétés requises

- Fibre : structure **longue** et très **fine**
- Un bord **encastré** et l'autre **libre**



Propriétés requises

- Fibre : structure **longue** et très **fine**
- Un bord **encastré** et l'autre **libre**
- Élastique en **flexion** et **torsion**



Propriétés requises

- Fibre : structure **longue** et très **fine**
- Un bord **encastré** et l'autre **libre**
- Élastique en **flexion** et **torsion**
- **Inextensible**



Propriétés requises

- Fibre : structure **longue** et très **fine**
- Un bord **encastré** et l'autre **libre**
- Élastique en **flexion** et **torsion**
- **Inextensible**
- Grands déplacements



Propriétés requises

- Fibre : structure **longue** et très **fine**
- Un bord **encastré** et l'autre **libre**
- Élastique en **flexion** et **torsion**
- **Inextensible**
- Grands déplacements
- “Frisure” **naturelle**



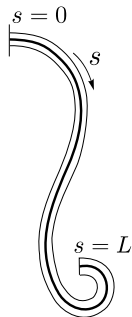
Propriétés requises

- Fibre : structure **longue** et très **fine**
- Un bord **encastré** et l'autre **libre**
- Élastique en **flexion** et **torsion**
- **Inextensible**
- Grands déplacements
- “Frisure” **naturelle**



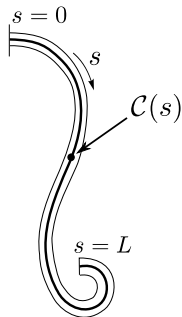
→ Choix du modèle mécanique de **tige de Kirchhoff**

Géométrie d'une tige de Kirchhoff




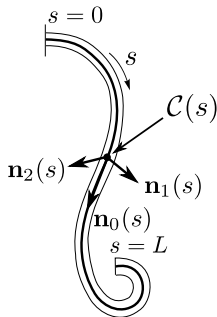
Géométrie d'une tige de Kirchhoff

- Ligne moyenne $C(s)$




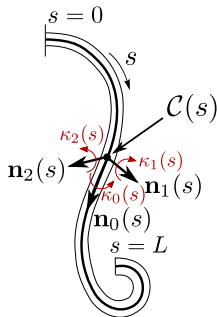
Géométrie d'une tige de Kirchhoff

- Ligne moyenne $\mathcal{C}(s)$
- Repère matériel $\mathcal{R}(s)$ 
 $\mathcal{R}(s) = \{\mathbf{n}_0(s), \mathbf{n}_1(s), \mathbf{n}_2(s)\}$
avec $\mathbf{n}_0(s) = \mathcal{C}'(s)$




Géométrie d'une tige de Kirchhoff

- Ligne moyenne $\mathcal{C}(s)$
- Repère matériel $\mathcal{R}(s)$ 
 $\mathcal{R}(s) = \{\mathbf{n}_0(s), \mathbf{n}_1(s), \mathbf{n}_2(s)\}$
avec $\mathbf{n}_0(s) = \mathcal{C}'(s)$
- Degrés de liberté :
 - torsion $\kappa_0(s)$
 - courbures $\kappa_1(s), \kappa_2(s)$



Géométrie d'une tige de Kirchhoff

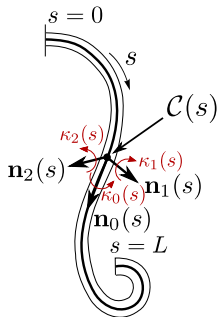
- Ligne moyenne $\mathcal{C}(s)$
- Repère matériel $\mathcal{R}(s)$ 
 $\mathcal{R}(s) = \{\mathbf{n}_0(s), \mathbf{n}_1(s), \mathbf{n}_2(s)\}$

avec $\mathbf{n}_0(s) = \mathcal{C}'(s)$


- Degrés de liberté :
 - torsion $\kappa_0(s)$
 - courbures $\kappa_1(s), \kappa_2(s)$

- Vecteur de Darboux :

$$\boldsymbol{\Omega}(s) = \kappa_0(s) \mathbf{n}_0(s) + \kappa_1(s) \mathbf{n}_1(s) + \kappa_2(s) \mathbf{n}_2(s)$$



Géométrie d'une tige de Kirchhoff

- Ligne moyenne $\mathcal{C}(s)$
- Repère matériel $\mathcal{R}(s)$ 
 $\mathcal{R}(s) = \{\mathbf{n}_0(s), \mathbf{n}_1(s), \mathbf{n}_2(s)\}$

avec $\mathbf{n}_0(s) = \mathcal{C}'(s)$

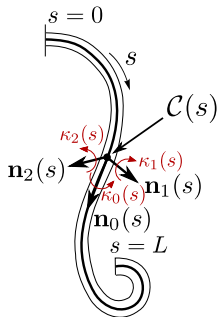
- Degrés de liberté :
 - torsion $\kappa_0(s)$
 - courbures $\kappa_1(s), \kappa_2(s)$

- Vecteur de Darboux :


$$\boldsymbol{\Omega}(s) = \kappa_0(s) \mathbf{n}_0(s) + \kappa_1(s) \mathbf{n}_1(s) + \kappa_2(s) \mathbf{n}_2(s)$$

- Évolution du repère matériel

$$\forall i = 0, 1, 2 \quad \frac{d\mathbf{n}_i}{ds}(s) = \boldsymbol{\Omega}(s) \wedge \mathbf{n}_i(s)$$



Géométrie d'une tige de Kirchhoff

- Ligne moyenne $\mathcal{C}(s)$
- Repère matériel $\mathcal{R}(s)$ 
 $\mathcal{R}(s) = \{\mathbf{n}_0(s), \mathbf{n}_1(s), \mathbf{n}_2(s)\}$

avec $\mathbf{n}_0(s) = \mathcal{C}'(s)$

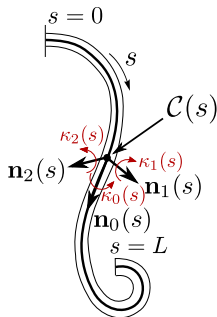
- Degrés de liberté :
 - torsion $\kappa_0(s)$
 - courbures $\kappa_1(s), \kappa_2(s)$

- Vecteur de Darboux :


$$\boldsymbol{\Omega}(s) = \kappa_0(s) \mathbf{n}_0(s) + \kappa_1(s) \mathbf{n}_1(s) + \kappa_2(s) \mathbf{n}_2(s)$$

- Évolution du repère matériel

$$\forall i = 0, 1, 2 \quad \frac{d\mathbf{n}_i}{ds}(s) = \boldsymbol{\Omega}(s) \wedge \mathbf{n}_i(s)$$



Géométrie d'une tige de Kirchhoff

- Ligne moyenne $\mathcal{C}(s)$
- Repère matériel $\mathcal{R}(s)$ 
 $\mathcal{R}(s) = \{\mathbf{n}_0(s), \mathbf{n}_1(s), \mathbf{n}_2(s)\}$

avec $\mathbf{n}_0(s) = \mathcal{C}'(s)$

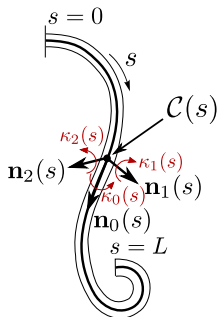
- Degrés de liberté :
 - torsion $\kappa_0(s)$
 - courbures $\kappa_1(s), \kappa_2(s)$

- Vecteur de Darboux :

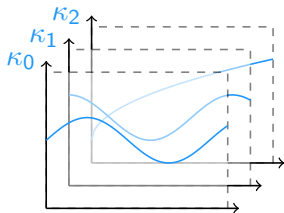
$$\boldsymbol{\Omega}(s) = \kappa_0(s) \mathbf{n}_0(s) + \kappa_1(s) \mathbf{n}_1(s) + \kappa_2(s) \mathbf{n}_2(s)$$

- Évolution du repère matériel

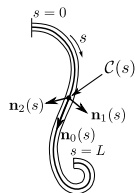
$$\forall i = 0, 1, 2 \quad \frac{d\mathbf{n}_i}{ds}(s) = \boldsymbol{\Omega}(s) \wedge \mathbf{n}_i(s)$$



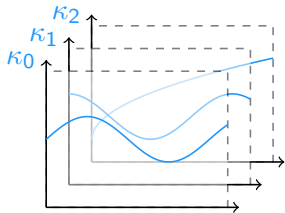
Géométrie : problème de Darboux



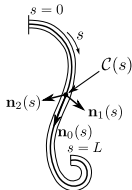
$$\begin{aligned} \forall i \quad \frac{d\mathbf{n}_i}{ds}(s) &= \boldsymbol{\Omega}(s) \wedge \mathbf{n}_i(s) \\ \mathcal{R}(0) &= \mathcal{R}_0 \end{aligned}$$



Géométrie : problème de Darboux



$$\begin{aligned} \forall i \quad \frac{d\mathbf{n}_i}{ds}(s) &= \boldsymbol{\Omega}(s) \wedge \mathbf{n}_i(s) \\ \mathcal{R}(0) &= \mathcal{R}_0 \end{aligned}$$



Solution exacte

- Existence d'une **unique** solution
- Mais **pas d'expression explicite** dans le cas général
→ Intégration numérique coûteuse 🤦

Équations dynamiques de Kirchhoff

Bilan des forces et des moments

$$\begin{aligned}\rho S \frac{\partial^2 \mathbf{r}}{\partial t^2}(s, t) &= \frac{\partial \mathbf{T}}{\partial s}(s, t) + \mathbf{F}(s, t) \\ \frac{\partial \mathbf{M}}{\partial s}(s, t) + \mathbf{n}_0(s, t) \wedge \mathbf{T}(s, t) &= \mathbf{0}\end{aligned}$$

avec ρS la masse linéique, \mathbf{T} la force interne, \mathbf{M} le moment interne, et \mathbf{F} la densité linéique de force externe.

Équations dynamiques de Kirchhoff

Bilan des forces et des moments

$$\begin{aligned}\rho S \frac{\partial^2 \mathbf{r}}{\partial t^2}(s, t) &= \frac{\partial \mathbf{T}}{\partial s}(s, t) + \mathbf{F}(s, t) \\ \frac{\partial \mathbf{M}}{\partial s}(s, t) + \mathbf{n}_0(s, t) \wedge \mathbf{T}(s, t) &= \mathbf{0}\end{aligned}$$

avec ρS la masse linéique, \mathbf{T} la force interne, \mathbf{M} le moment interne, et \mathbf{F} la densité linéique de force externe.

Loi de comportement élastique

$$\mathbf{M}(s) = EI \left(\kappa(s) - \kappa^0(s) \right)$$

avec K la raideur et κ^0 les courbures/torsion naturelles.

Équations dynamiques de Kirchhoff

Bilan des forces et des moments

$$\begin{aligned}\rho S \frac{\partial^2 \mathbf{r}}{\partial t^2}(s, t) &= \frac{\partial \mathbf{T}}{\partial s}(s, t) + \mathbf{F}(s, t) \\ \frac{\partial \mathbf{M}}{\partial s}(s, t) + \mathbf{n}_0(s, t) \wedge \mathbf{T}(s, t) &= \mathbf{0}\end{aligned}$$

avec ρS la masse linéique, \mathbf{T} la force interne, \mathbf{M} le moment interne, et \mathbf{F} la densité linéique de force externe.

Loi de comportement élastique

$$\mathbf{M}(s) = EI \left(\kappa(s) - \kappa^0(s) \right)$$

avec K la raideur et κ^0 les courbures/torsion naturelles.

Conditions aux limites

$$\mathcal{C}(0) = \mathcal{C}_0, \mathcal{R}(0) = \mathcal{R}_0 \quad \text{et} \quad \mathbf{T}(L) = \mathbf{M}(L) = \mathbf{0}$$

Difficultés

- EDP non-linéaire avec conditions aux limites
- Problèmes de **stabilité** en différences finies
Les fortes courbures imposent une discrétisation spatiale très fine

Difficultés

- EDP non-linéaire avec conditions aux limites
- Problèmes de **stabilité** en différences finies
Les fortes courbures imposent une discrétisation spatiale très fine

Mieux : discrétisation spatiale préalable

- Choix d'un nombre **fini** de coordonnées **en espace**
Exemple : méthode des éléments finis
- Système d'EDO en temps, résolu par différences finies

Difficultés

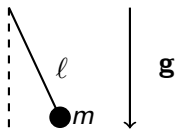
- EDP non-linéaire avec conditions aux limites
- Problèmes de **stabilité** en différences finies
Les fortes courbures imposent une discrétisation spatiale très fine

Mieux : discrétisation spatiale préalable

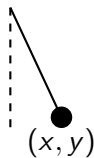
- Choix d'un nombre **fini** de coordonnées **en espace**
Exemple : méthode des éléments finis
- Système d'EDO en temps, résolu par différences finies

→ Quel **choix** de coordonnées spatiales ?

Deux familles de choix de coordonnées



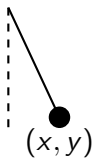
Deux familles de choix de coordonnées



Modèle nodal

$$\text{coordonnées } \mathbf{x} = \begin{bmatrix} x \\ y \end{bmatrix} \quad \left\{ \begin{array}{l} m\ddot{\mathbf{x}} = m\mathbf{g} \\ \|\mathbf{x}\| = \ell \end{array} \right.$$

Deux familles de choix de coordonnées



Modèle nodal

coordonnées $\mathbf{x} = \begin{bmatrix} x \\ y \end{bmatrix}$

$$\begin{cases} m\ddot{\mathbf{x}} = m\mathbf{g} \\ \|\mathbf{x}\| = \ell \end{cases}$$

😊 Équations simples à formuler

😞 Ajout de contraintes

Deux familles de choix de coordonnées



Modèle réduit

coordonnée θ

$$m\ell\ddot{\theta} = -mg \sin \theta$$

Deux familles de choix de coordonnées



Modèle réduit

coordonnée θ

$$m\ell\ddot{\theta} = -mg \sin \theta$$



Inextensibilité **intrinsèque**

Plus généralement : discrétisation spatiale

Nombre fini de coordonnées

$q \in \mathbb{R}^m$: coordonnées généralisées

$$\mathbf{M}(q) \cdot \ddot{q} + \mathbf{K}(q) + \mathbf{A}(q, \dot{q}) = \mathbf{F}(q, \dot{q}, t)$$

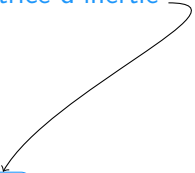
sous $C(q) = 0$

Plus généralement : discrétisation spatiale

Nombre fini de coordonnées

$q \in \mathbb{R}^m$: coordonnées généralisées

- Matrice d'inertie


$$\boxed{M(q)} \cdot \ddot{q} + K(q) + A(q, \dot{q}) = F(q, \dot{q}, t)$$

sous $C(q) = 0$

Plus généralement : discrétisation spatiale

Nombre fini de coordonnées

$q \in \mathbb{R}^m$: coordonnées généralisées

- Matrice d'inertie
- Forces élastiques internes

$$M(q) \cdot \ddot{q} + \mathbf{K}(q) + \mathbf{A}(q, \dot{q}) = \mathbf{F}(q, \dot{q}, t)$$

sous $C(q) = 0$

Plus généralement : discrétisation spatiale

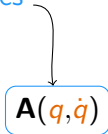
Nombre fini de coordonnées

$q \in \mathbb{R}^m$: coordonnées généralisées

- Matrice d'inertie
- Forces élastiques internes
- Termes d'inertie non-linéaires

$$\mathbf{M}(q) \cdot \ddot{q} + \mathbf{K}(q) + \mathbf{A}(q, \dot{q}) = \mathbf{F}(q, \dot{q}, t)$$

sous $C(q) = 0$



Plus généralement : discrétisation spatiale

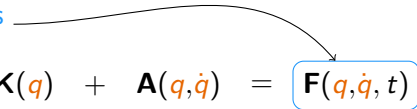
Nombre fini de coordonnées

$q \in \mathbb{R}^m$: coordonnées généralisées

- Matrice d'inertie
- Forces élastiques internes
- Termes d'inertie non-linéaires
- Forces extérieures

$$\mathbf{M}(q) \cdot \ddot{q} + \mathbf{K}(q) + \mathbf{A}(q, \dot{q}) = \mathbf{F}(q, \dot{q}, t)$$

sous $C(q) = 0$



Plus généralement : discrétisation spatiale

Nombre fini de coordonnées

$q \in \mathbb{R}^m$: coordonnées généralisées

- Matrice d'inertie
- Forces élastiques internes
- Termes d'inertie non-linéaires
- Forces extérieures

$$\mathbf{M}(q) \cdot \ddot{q} + \mathbf{K}(q) + \mathbf{A}(q, \dot{q}) = \mathbf{F}(q, \dot{q}, t)$$

sous

$$C(q) = 0$$

- Contraintes

Plus généralement : discrétisation spatiale

Nombre fini de coordonnées

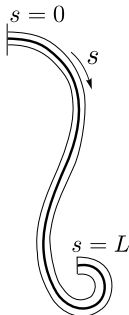
$q \in \mathbb{R}^m$: coordonnées généralisées

- Matrice d'inertie
- Forces élastiques internes
- Termes d'inertie non-linéaires
- Forces extérieures

$$\mathbf{M}(q) \cdot \ddot{q} + \mathbf{K}(q) + \mathbf{A}(q, \dot{q}) = \mathbf{F}(q, \dot{q}, t)$$

sous $C(q) = 0$

- Contraintes



Plus généralement : discrétisation spatiale

Nombre fini de coordonnées

$q \in \mathbb{R}^m$: coordonnées généralisées

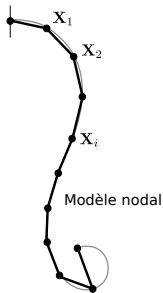
- Matrice d'inertie
- Forces élastiques internes
- Termes d'inertie non-linéaires
- Forces extérieures

$$\mathbb{M} \cdot \ddot{q} + \mathbf{K}(q) = \mathbf{F}(q, \dot{q}, t)$$

sous $C(q) = 0$

- Contraintes

Modèle nodal : \mathbb{M} creuse 😊, contraintes 😞, \mathbf{K} non-linéaire 😞

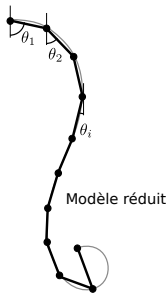


Plus généralement : discrétisation spatiale

Nombre fini de coordonnées

$q \in \mathbb{R}^m$: coordonnées généralisées

- Matrice d'inertie
- Forces élastiques internes
- Termes d'inertie non-linéaires
- Forces extérieures



$$\mathbb{M}(q) \cdot \ddot{q} + \mathbb{K} \cdot (q - q^0) + \mathbf{A}(q, \dot{q}) = \mathbf{F}(q, \dot{q}, t)$$

Modèle réduit : \mathbb{M} dense 😞, aucune contrainte 😊, \mathbf{K} linéaire 😊

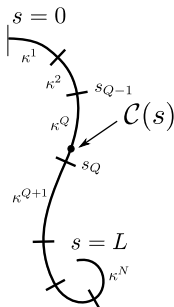
Plus généralement : discrétisation spatiale

Nombre fini de coordonnées

$q \in \mathbb{R}^m$: coordonnées généralisées

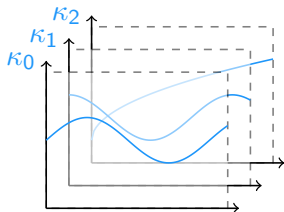
- Matrice d'inertie
- Forces élastiques internes
- Termes d'inertie non-linéaires
- Forces extérieures

$$\mathbf{M}(q) \cdot \ddot{q} + \mathbf{K} \cdot (q - q^0) + \mathbf{A}(q, \dot{q}) = \mathbf{F}(q, \dot{q}, t)$$

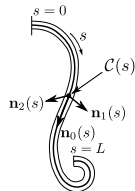


→ Choix de coordonnées réduites de haut degré : courbures

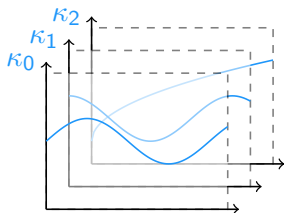
Géométrie discrète : Super-Hélice



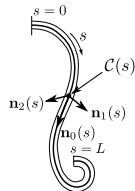
$$\begin{aligned} \forall i \quad \frac{d\mathbf{n}_i}{ds}(s) &= \boldsymbol{\Omega}(s) \wedge \mathbf{n}_i(s) \\ \mathcal{R}(0) &= \mathcal{R}_0 \end{aligned}$$



Géométrie discrète : Super-Hélice

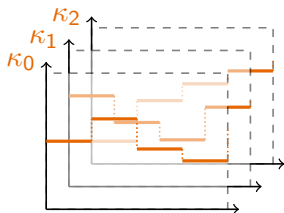


$$\begin{aligned} \forall i \quad \frac{d\mathbf{n}_i}{ds}(s) &= \boldsymbol{\Omega}(s) \wedge \mathbf{n}_i(s) \\ \mathcal{R}(0) &= \mathcal{R}_0 \end{aligned}$$

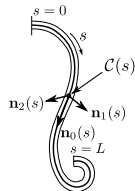


Si $\kappa_0(s)$, $\kappa_1(s)$, $\kappa_2(s)$ sont **constantes** par morceau [Bertails et al. 2006]

Géométrie discrète : Super-Hélice

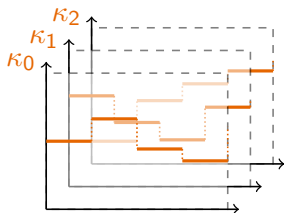


$$\begin{aligned} \forall i \quad \frac{d\mathbf{n}_i}{ds}(s) &= \boldsymbol{\Omega}(s) \wedge \mathbf{n}_i(s) \\ \mathcal{R}(0) &= \mathcal{R}_0 \end{aligned}$$

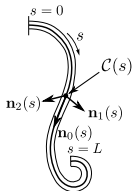


Si $\kappa_0(s)$, $\kappa_1(s)$, $\kappa_2(s)$ sont **constantes** par morceau [Bertails et al. 2006]

Géométrie discrète : Super-Hélice



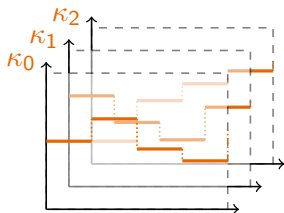
$$\begin{aligned} \forall i \quad \frac{d\mathbf{n}_i}{ds}(s) &= \boldsymbol{\Omega}(s) \wedge \mathbf{n}_i(s) \\ \mathcal{R}(0) &= \mathcal{R}_0 \end{aligned}$$



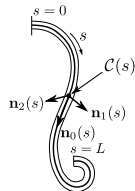
Si $\kappa_0(s)$, $\kappa_1(s)$, $\kappa_2(s)$ sont constantes par morceau [Bertails et al. 2006]

- Sur chaque morceau, solution explicite pour $\mathcal{R}(s)$ et $\mathcal{C}(s)$

Géométrie discrète : Super-Hélice

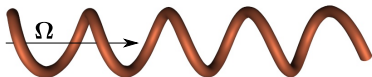


$$\begin{aligned} \forall i \quad \frac{d\mathbf{n}_i}{ds}(s) &= \boldsymbol{\Omega}(s) \wedge \mathbf{n}_i(s) \\ \mathcal{R}(0) &= \mathcal{R}_0 \end{aligned}$$

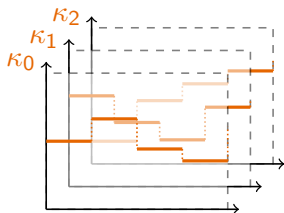


Si $\kappa_0(s)$, $\kappa_1(s)$, $\kappa_2(s)$ sont **constantes** par morceau [Bertails et al. 2006]

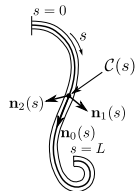
- Sur chaque morceau, solution **explicite** pour $\mathcal{R}(s)$ et $\mathcal{C}(s)$
→ Équations d'une **hélice circulaire**



Géométrie discrète : Super-Hélice

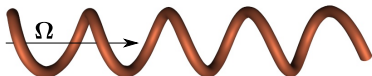


$$\begin{aligned} \forall i \quad \frac{d\mathbf{n}_i}{ds}(s) &= \boldsymbol{\Omega}(s) \wedge \mathbf{n}_i(s) \\ \mathcal{R}(0) &= \mathcal{R}_0 \end{aligned}$$



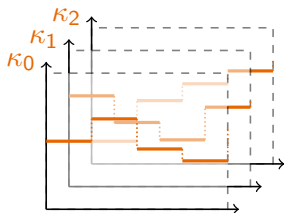
Si $\kappa_0(s)$, $\kappa_1(s)$, $\kappa_2(s)$ sont **constantes** par morceau [Bertails et al. 2006]

- Sur chaque morceau, solution **explicite** pour $\mathcal{R}(s)$ et $\mathcal{C}(s)$
→ Équations d'une **hélice circulaire**

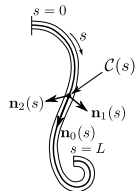


- Raccordement **continu** entre morceaux

Géométrie discrète : Super-Hélice

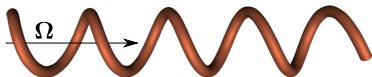


$$\begin{aligned} \forall i \quad \frac{d\mathbf{n}_i}{ds}(s) &= \boldsymbol{\Omega}(s) \wedge \mathbf{n}_i(s) \\ \mathcal{R}(0) &= \mathcal{R}_0 \end{aligned}$$



Si $\kappa_0(s)$, $\kappa_1(s)$, $\kappa_2(s)$ sont **constantes** par morceau [Bertails et al. 2006]

- Sur chaque morceau, solution **explicite** pour $\mathcal{R}(s)$ et $\mathcal{C}(s)$
→ Équations d'une **hélice circulaire**



- Raccordement **continu** entre morceaux
→ Toute la cinématique de tige calculable **explicitement**
→ Ligne moyenne $\mathcal{C}(s)$ de continuité \mathcal{C}^1

Dynamique discrète : Super-Hélice

$$q = [\kappa_0^1, \kappa_1^1, \kappa_2^2, \dots, \kappa_0^N, \kappa_1^N, \kappa_2^N]^T \in \mathbb{R}^{3N}$$

Dynamique discrète : Super-Hélice

$$q = [\kappa_0^1, \kappa_1^1, \kappa_2^2, \dots, \kappa_0^N, \kappa_1^N, \kappa_2^N]^T \in \mathbb{R}^{3N}$$

Calcul des coefficients de l'EDO en temps

$$\mathbb{M}(q) \cdot \ddot{q} + \mathbb{K} \cdot (q - q^0) + \mathbf{A}(q, \dot{q}) = \mathbf{F}(q, \dot{q}, t)$$

Dynamique discrète : Super-Hélice

$$q = [\kappa_0^1, \kappa_1^1, \kappa_2^2, \dots, \kappa_0^N, \kappa_1^N, \kappa_2^N]^T \in \mathbb{R}^{3N}$$

Calcul des coefficients de l'EDO en temps

$$\mathbb{M}(q) \cdot \ddot{q} + \mathbb{K} \cdot (q - q^0) + \mathbf{A}(q, \dot{q}) = \mathbf{F}(q, \dot{q}, t)$$

- Formule **explicite** en q, \dot{q} pour chaque coefficient

Dynamique discrète : Super-Hélice

$$\mathbf{q} = [\kappa_0^1, \kappa_1^1, \kappa_2^2, \dots, \kappa_0^N, \kappa_1^N, \kappa_2^N]^T \in \mathbb{R}^{3N}$$

Calcul des coefficients de l'EDO en temps

$$\mathbb{M}(\mathbf{q}) \cdot \ddot{\mathbf{q}} + \mathbb{K} \cdot (\mathbf{q} - \mathbf{q}^0) + \mathbf{A}(\mathbf{q}, \dot{\mathbf{q}}) = \mathbf{F}(\mathbf{q}, \dot{\mathbf{q}}, t)$$

- Formule **explicite** en $\mathbf{q}, \dot{\mathbf{q}}$ pour chaque coefficient

- Exemple : $\mathbb{M}_{i,j} = \rho S \int_0^L \left(\frac{\partial \mathcal{C}}{\partial q_i}(s) \right)^T \cdot \frac{\partial \mathcal{C}}{\partial q_j}(s) ds$

Dynamique discrète : Super-Hélice

$$\mathbf{q} = [\kappa_0^1, \kappa_1^1, \kappa_2^2, \dots, \kappa_0^N, \kappa_1^N, \kappa_2^N]^T \in \mathbb{R}^{3N}$$

Calcul des coefficients de l'EDO en temps

$$\mathbb{M}(\mathbf{q}) \cdot \ddot{\mathbf{q}} + \mathbb{K} \cdot (\mathbf{q} - \mathbf{q}^0) + \mathbf{A}(\mathbf{q}, \dot{\mathbf{q}}) = \mathbf{F}(\mathbf{q}, \dot{\mathbf{q}}, t)$$

- Formule **explicite** en $\mathbf{q}, \dot{\mathbf{q}}$ pour chaque coefficient
- Exemple : $\mathbb{M}_{i,j} = \rho S \int_0^L \left(\frac{\partial \mathcal{C}}{\partial q_i}(s) \right)^T \cdot \frac{\partial \mathcal{C}}{\partial q_j}(s) ds$

Résolution temporelle

- Schéma d'Euler semi-implicite
 $\mathbf{M} \mathbf{v} + \mathbf{f} = 0$ avec $\mathbf{v} = \dot{\mathbf{q}}_{t+1}$

Dynamique discrète : Super-Hélice

$$\mathbf{q} = [\kappa_0^1, \kappa_1^1, \kappa_2^2, \dots, \kappa_0^N, \kappa_1^N, \kappa_2^N]^T \in \mathbb{R}^{3N}$$

Calcul des coefficients de l'EDO en temps

$$\mathbb{M}(\mathbf{q}) \cdot \ddot{\mathbf{q}} + \mathbb{K} \cdot (\mathbf{q} - \mathbf{q}^0) + \mathbf{A}(\mathbf{q}, \dot{\mathbf{q}}) = \mathbf{F}(\mathbf{q}, \dot{\mathbf{q}}, t)$$

- Formule **explicite** en $\mathbf{q}, \dot{\mathbf{q}}$ pour chaque coefficient
- Exemple : $\mathbb{M}_{i,j} = \rho S \int_0^L \left(\frac{\partial \mathcal{C}}{\partial q_i}(s) \right)^T \cdot \frac{\partial \mathcal{C}}{\partial q_j}(s) ds$

Résolution temporelle

- Schéma d'Euler semi-implicite
 $\mathbf{M} \mathbf{v} + \mathbf{f} = 0$ avec $\mathbf{v} = \dot{\mathbf{q}}_{t+1}$
- Forces élastiques **implicites**

Dynamique discrète : Super-Hélice

$$\mathbf{q} = [\kappa_0^1, \kappa_1^1, \kappa_2^2, \dots, \kappa_0^N, \kappa_1^N, \kappa_2^N]^T \in \mathbb{R}^{3N}$$

Calcul des coefficients de l'EDO en temps

$$\mathbb{M}(\mathbf{q}) \cdot \ddot{\mathbf{q}} + \mathbb{K} \cdot (\mathbf{q} - \mathbf{q}^0) + \mathbf{A}(\mathbf{q}, \dot{\mathbf{q}}) = \mathbf{F}(\mathbf{q}, \dot{\mathbf{q}}, t)$$

- Formule **explicite** en $\mathbf{q}, \dot{\mathbf{q}}$ pour chaque coefficient

- Exemple : $\mathbb{M}_{i,j} = \rho S \int_0^L \left(\frac{\partial \mathcal{C}}{\partial q_i}(s) \right)^T \cdot \frac{\partial \mathcal{C}}{\partial q_j}(s) ds$

Résolution temporelle

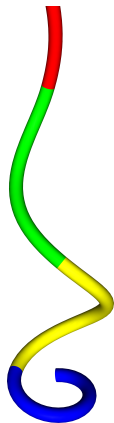
- Schéma d'Euler semi-implicite

$$\mathbf{M} \mathbf{v} + \mathbf{f} = 0 \quad \text{avec } \mathbf{v} = \dot{\mathbf{q}}_{t+1}$$

- Forces élastiques **implicites**

→ Simulations stables

Super-Hélice : exemple de simulation



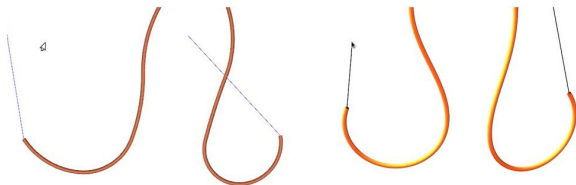
Avantages

- Inextensibilité **parfaite**
- Gamme importante de formes naturelles
Lisse, ondulée, bouclée
- Éléments d'ordre élevé → représentation **riche**
- Paramétrisation **minimale** et **intuitive**

Modèle de Super-Hélice : Conclusion

Inconvénients

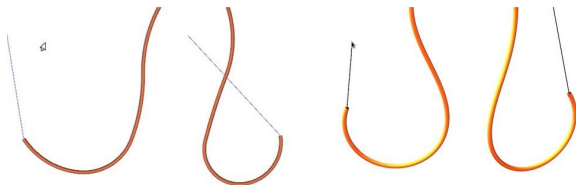
- Coûteux si on raffine la précision en espace ($N > 15$)
- Ligne moyenne seulement de continuité C^1
→ Pas assez lisse visuellement



Modèle de Super-Hélice : Conclusion

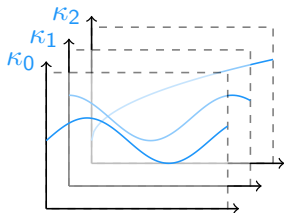
Inconvénients

- Coûteux si on raffine la précision en espace ($N > 15$)
- Ligne moyenne seulement de continuité C^1
→ Pas assez lisse visuellement

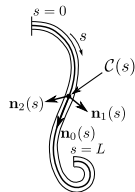


- Peut-on imaginer un modèle d'ordre encore plus élevé ?

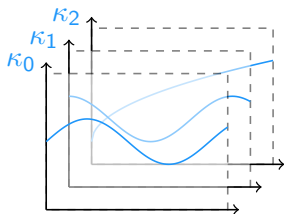
Géométrie discrète : Super-Clothoïde



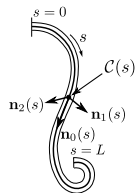
$$\begin{aligned} \forall i \quad \frac{d\mathbf{n}_i}{ds}(s) &= \boldsymbol{\Omega}(s) \wedge \mathbf{n}_i(s) \\ \mathcal{R}(0) &= \mathcal{R}_0 \end{aligned}$$



Géométrie discrète : Super-Clothoïde

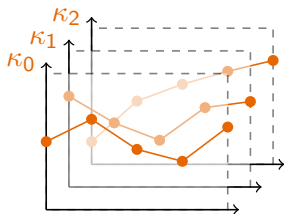


$$\begin{aligned} \forall i \quad \frac{d\mathbf{n}_i}{ds}(s) &= \boldsymbol{\Omega}(s) \wedge \mathbf{n}_i(s) \\ \mathcal{R}(0) &= \mathcal{R}_0 \end{aligned}$$

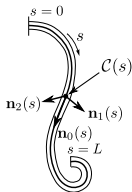


Si $\kappa_0(s)$, $\kappa_1(s)$, $\kappa_2(s)$ sont **linéaires** par morceau

Géométrie discrète : Super-Clothoïde

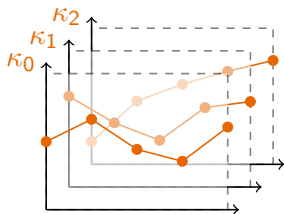


$$\begin{aligned} \forall i \quad \frac{d\mathbf{n}_i}{ds}(s) &= \boldsymbol{\Omega}(s) \wedge \mathbf{n}_i(s) \\ \mathcal{R}(0) &= \mathcal{R}_0 \end{aligned}$$

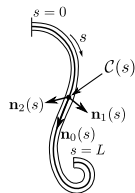


Si $\kappa_0(s)$, $\kappa_1(s)$, $\kappa_2(s)$ sont **linéaires** par morceau

Géométrie discrète : Super-Clothoïde



$$\begin{aligned} \forall i \quad \frac{d\mathbf{n}_i}{ds}(s) &= \boldsymbol{\Omega}(s) \wedge \mathbf{n}_i(s) \\ \mathcal{R}(0) &= \mathcal{R}_0 \end{aligned}$$

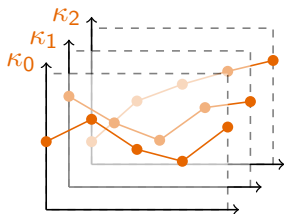


Si $\kappa_0(s)$, $\kappa_1(s)$, $\kappa_2(s)$ sont **linéaires** par morceau

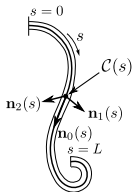
- Sur chaque morceau, solution en **clothoïde 3D**



Géométrie discrète : Super-Clothoïde



$$\begin{aligned} \forall i \quad \frac{d\mathbf{n}_i}{ds}(s) &= \boldsymbol{\Omega}(s) \wedge \mathbf{n}_i(s) \\ \mathcal{R}(0) &= \mathcal{R}_0 \end{aligned}$$



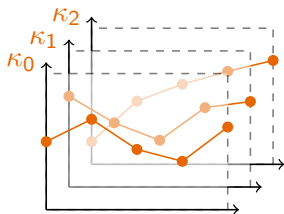
Si $\kappa_0(s)$, $\kappa_1(s)$, $\kappa_2(s)$ sont **linéaires** par morceau

- Sur chaque morceau, solution en **clothoïde 3D**

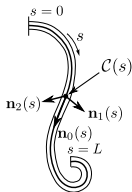


- Mais **plus de solution explicite...**

Géométrie discrète : Super-Clothoïde



$$\begin{aligned} \forall i \quad \frac{d\mathbf{n}_i}{ds}(s) &= \boldsymbol{\Omega}(s) \wedge \mathbf{n}_i(s) \\ \mathcal{R}(0) &= \mathcal{R}_0 \end{aligned}$$



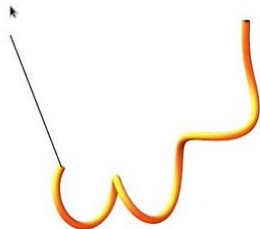
Si $\kappa_0(s)$, $\kappa_1(s)$, $\kappa_2(s)$ sont **linéaires** par morceau

- Sur chaque morceau, solution en **clothoïde 3D**

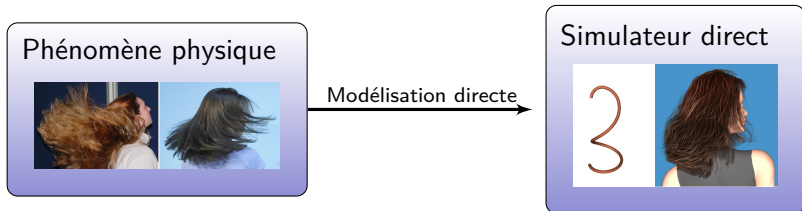


- Mais **plus de solution explicite...**
- Intégrer numériquement **précisément** et **efficacement** ?
→ Calcul par séries entières [Casati et Bertails-Descoubes 2013]

Super-Clothoïde : exemple de simulation



I. Modélisation directe



- 1 Modèle réduit de fibre
- 2 Modèle de contact frottant

Observation d'un mouvement de cheveux réels

Capture de S. Paris and T. Judd (MIT)



Méthode la plus simple : pénalité et régularisation

Contact par pénalités



Méthode par pénalité très rapide, mais ...



Méthode **très peu robuste**

- Calcul **explicite** des forces de pénalité
- Difficile de régler automatiquement la raideur



Frottement régularisé




Effet de seuil adhérence/glisserment non capturé




Vers un modèle plus robuste : contraintes

Contact frottant par contraintes

- 😊 Calcul **implicite** des “bonnes” forces de contact
→ Aucun paramètre redondant à ajuster
- 😊 Prise en compte du frottement **solide** 
- 😞 Temps de calcul plus long (système augmenté)
- 😞 Problèmes éventuels de convergence

Vers un modèle plus robuste : contraintes

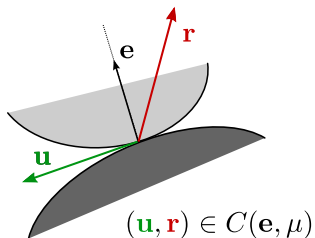
Contact frottant par contraintes

- 😊 Calcul **implicite** des “bonnes” forces de contact
→ Aucun paramètre redondant à ajuster
- 😊 Prise en compte du frottement **solide** 
- 😞 Temps de calcul plus long (système augmenté)
- 😞 Problèmes éventuels de convergence

→ Objectif : trouver un solveur à la fois **robuste** et **rapide** pour traiter des dizaines voire centaines de milliers de contacts frottants

Modèle idéal retenu

Contact avec frottement de **Coulomb**



Avantages de ce modèle :

- a priori, suffisamment **réaliste** (effet de seuil)
- suffisamment **“simple”** pour être simulé

Étape préliminaire : détection des contacts

- Chaîne de **cylindres englobants** autour de chaque fibre



Étape préliminaire : détection des contacts

- Chaîne de **cylindres englobants** autour de chaque fibre
- Détection : calcul de la **distance minimale**
 - entre 2 cylindres (fibre/fibre)
 - entre 1 cylindre et 1 maillage (fibre/corps)



Étape préliminaire : détection des contacts

- Chaîne de **cylindres englobants** autour de chaque fibre
- Détection : calcul de la **distance minimale**
 - entre 2 cylindres (fibre/fibre)
 - entre 1 cylindre et 1 maillage (fibre/corps)
- Sortie :
 - Positions du point de contact pour les 2 objets en contact
 - **Normale** e au point de contact



Étape préliminaire : détection des contacts

- Chaîne de **cylindres englobants** autour de chaque fibre
- Détection : calcul de la **distance minimale**
 - entre 2 cylindres (fibre/fibre)
 - entre 1 cylindre et 1 maillage (fibre/corps)
- Sortie :
 - Positions du point de contact pour les 2 objets en contact
 - **Normale e** au point de contact
- Méthodes d'accélération
 - **Partitionnement** des contraintes
 - Table de **hachage** en espace



Étape préliminaire : détection des contacts

- Chaîne de **cyindres englobants** autour de chaque fibre
- Détection : calcul de la **distance minimale**
 - entre 2 cylindres (fibre/fibre)
 - entre 1 cylindre et 1 maillage (fibre/corps)
- Sortie :
 - Positions du point de contact pour les 2 objets en contact
 - **Normale e** au point de contact
- Méthodes d'accélération
 - **Partitionnement** des contraintes
 - Table de **hachage** en espace



- ☹️ Peut nécessiter de petits pas de temps
- 😊 Simple et rapide ($\sim 1\%$ du temps total de calcul)

Formulation de la dynamique avec contact frottant

- Système global (sans interactions) :

$$\mathbf{M} \mathbf{v} + \mathbf{f} = 0$$

→ inconnue : \mathbf{v}

Formulation de la dynamique avec contact frottant

- Système global (sans interactions) :

$$\mathbf{M} \mathbf{v} + \mathbf{f} = 0$$

→ inconnue : \mathbf{v}

- Système global (avec contact frottant) :

$$\left\{ \begin{array}{l} \mathbf{M} \mathbf{v} + \mathbf{f} = \mathbf{H}^T \mathbf{r} \\ \mathbf{u} = \mathbf{H} \mathbf{v} + \mathbf{w} \\ (\mathbf{u}, \mathbf{r}) \text{ vérifie la loi de Coulomb} \end{array} \right. \quad (1)$$

→ Inconnues : \mathbf{v} , \mathbf{u} et \mathbf{r}

- Soit $\mathbf{v} = \mathbf{M}^{-1}(\mathbf{H}^\top \mathbf{r} - \mathbf{f})$

- Soit $\mathbf{v} = \mathbf{M}^{-1}(\mathbf{H}^\top \mathbf{r} - \mathbf{f})$
- Formulation compacte en (\mathbf{u}, \mathbf{r}) :

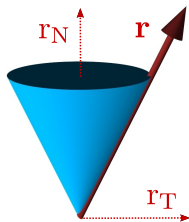
$$\begin{cases} \mathbf{u} & = \mathbf{W}\mathbf{r} + \mathbf{q} \\ (\mathbf{u}, \mathbf{r}) & \text{vérifie la loi de Coulomb} \end{cases} \quad (2)$$

où $\mathbf{W} = \mathbf{H}\mathbf{M}^{-1}\mathbf{H}^\top \in \mathcal{M}_{3n}(\mathbb{R})$ est l'opérateur de Delassus

Loi de Coulomb : formulation disjonctive

Soit $\mu \geq 0$ le coefficient de frottement.
On définit le cône du second-ordre \mathcal{K}_μ ,

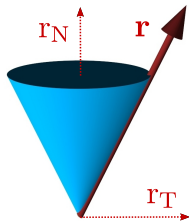
$$\mathcal{K}_\mu = \{ \|r_T\| \leq \mu r_N \} \subset \mathbb{R}^3$$



Loi de Coulomb : formulation disjonctive

Soit $\mu \geq 0$ le coefficient de frottement.
On définit le cône du second-ordre \mathcal{K}_μ ,

$$\mathcal{K}_\mu = \{ \|r_T\| \leq \mu r_N \} \subset \mathbb{R}^3$$



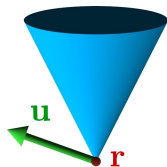
Contact frottant avec la loi de Coulomb

$$(\mathbf{u}, \mathbf{r}) \in C(\mathbf{e}, \mu) \iff$$

Loi de Coulomb : formulation disjonctive

Soit $\mu \geq 0$ le coefficient de frottement.
On définit le cône du second-ordre \mathcal{K}_μ ,

$$\mathcal{K}_\mu = \{ \|r_T\| \leq \mu r_N \} \subset \mathbb{R}^3$$



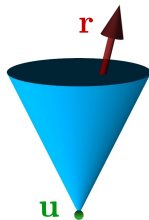
Contact frottant avec la loi de Coulomb

$$(\mathbf{u}, \mathbf{r}) \in C(\mathbf{e}, \mu) \iff \left\{ \begin{array}{l} \text{soit décollage} \quad r = 0 \text{ et } u_N > 0 \\ \text{soit frottement} \quad r \neq 0 \text{ et } u_N = 0 \end{array} \right.$$

Loi de Coulomb : formulation disjonctive

Soit $\mu \geq 0$ le coefficient de frottement.
On définit le cône du second-ordre \mathcal{K}_μ ,

$$\mathcal{K}_\mu = \{ \|r_T\| \leq \mu r_N \} \subset \mathbb{R}^3$$



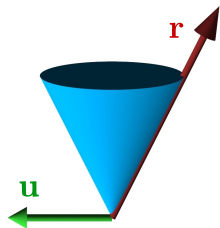
Contact frottant avec la loi de Coulomb

$$(\mathbf{u}, \mathbf{r}) \in C(\mathbf{e}, \mu) \iff \begin{cases} \text{soit décollage} & r = 0 \text{ et } u_N > 0 \\ \text{soit adhérence} & r \in \text{int}(\mathcal{K}_\mu) \text{ et } u = 0 \end{cases}$$

Loi de Coulomb : formulation disjonctive

Soit $\mu \geq 0$ le coefficient de frottement.
On définit le cône du second-ordre \mathcal{K}_μ ,

$$\mathcal{K}_\mu = \{ \|r_T\| \leq \mu r_N \} \subset \mathbb{R}^3$$



Contact frottant avec la loi de Coulomb

$$(\mathbf{u}, \mathbf{r}) \in C(\mathbf{e}, \mu) \iff \begin{cases} \text{soit décollage} & r = 0 \text{ et } u_N > 0 \\ \text{soit adhérence} & r \in \text{int}(\mathcal{K}_\mu) \text{ et } u = 0 \\ \text{soit glissement} & r \in \text{bord}(\mathcal{K}_\mu) \setminus 0, u_N = 0 \\ & \text{et } \exists \alpha \geq 0, u_T = -\alpha r_T \end{cases}$$

Beaucoup de formulations possibles

Beaucoup de formulations possibles

Deux exemples :

① Formulation disjonctive :

→ Explorer de manière **énumérative** tous les cas

😊 Solution **exacte** [Bonnefon et Daviet 2011]

😞 Complexité exponentielle

Beaucoup de formulations possibles

Deux exemples :

① Formulation disjonctive :

→ Explorer de manière **énumérative** tous les cas

😊 Solution **exacte** [Bonnefon et Daviet 2011]

😞 Complexité exponentielle

② Formulation fonctionnelle :

$$f(\mathbf{u}, \mathbf{r}) = \mathbf{0} \iff (\mathbf{u}, \mathbf{r}) \in C(\mathbf{e}, \mu)$$

→ Recherche de zéro d'une fonction **non-régulière**

Loi de Coulomb : formulation fonctionnelle

Formulation d'Alart et Curnier [1991]

$$\mathbf{f}^{AC}(\mathbf{u}, \mathbf{r}) = \begin{bmatrix} f_N^{AC}(\mathbf{u}, \mathbf{r}) \\ \mathbf{f}_T^{AC}(\mathbf{u}, \mathbf{r}) \end{bmatrix} = \begin{bmatrix} P_{\mathbb{R}^+}(r_N - \rho_N u_N) & - & r_N \\ P_{\mathbf{B}(\mathbf{0}, \mu r_N)}(\mathbf{r}_T - \rho_T \mathbf{u}_T) & - & \mathbf{r}_T \end{bmatrix}$$

où $\rho_N, \rho_T \in \mathbb{R}_+^*$ et P_K est la projection sur le convexe K .

$$\boxed{(\mathbf{u}, \mathbf{r}) \in C(\mathbf{e}, \mu) \iff \mathbf{f}^{AC}(\mathbf{u}, \mathbf{r}) = \mathbf{0}}$$

Loi de Coulomb : formulation fonctionnelle

Formulation d'Alart et Curnier [1991]

$$\mathbf{f}^{AC}(\mathbf{u}, \mathbf{r}) = \begin{bmatrix} f_N^{AC}(\mathbf{u}, \mathbf{r}) \\ \mathbf{f}_T^{AC}(\mathbf{u}, \mathbf{r}) \end{bmatrix} = \begin{bmatrix} P_{\mathbb{R}^+}(r_N - \rho_N u_N) & - & r_N \\ P_{\mathbf{B}(\mathbf{0}, \mu r_N)}(\mathbf{r}_T - \rho_T \mathbf{u}_T) & - & \mathbf{r}_T \end{bmatrix}$$

où $\rho_N, \rho_T \in \mathbb{R}_+^*$ et P_K est la projection sur le convexe K .

$$\boxed{(\mathbf{u}, \mathbf{r}) \in C(\mathbf{e}, \mu) \iff \mathbf{f}^{AC}(\mathbf{u}, \mathbf{r}) = \mathbf{0}}$$

Une méthode de résolution

- Algorithme de Newton non-régulier

Résultats de tests de multiples solveurs

- Les solveurs globaux ne passent pas à l'échelle

Résultats de tests de multiples solveurs

- Les solveurs globaux **ne passent pas à l'échelle**
→ Résolution itérative contact par contact

Résultats de tests de multiples solveurs

- Les solveurs globaux **ne passent pas à l'échelle**
→ Résolution itérative contact par contact
- Un échec sur 1 contact fait échouer la boucle

Résultats de tests de multiples solveurs

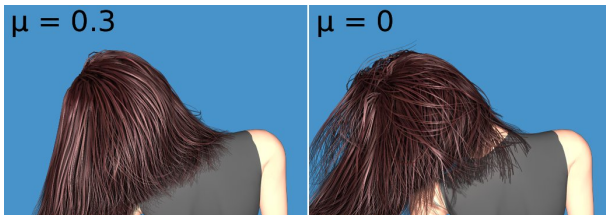
- Les solveurs globaux **ne passent pas à l'échelle**
→ Résolution itérative contact par contact
- Un échec sur 1 contact fait échouer la boucle
→ Effort porté sur le solveur **local**

Résultats de tests de multiples solveurs

- Les solveurs globaux **ne passent pas à l'échelle**
→ Résolution itérative contact par contact
- Un échec sur 1 contact fait échouer la boucle
→ Effort porté sur le solveur **local**
- Sur 1 contact donné, réussite variable selon la méthode

Résultats de tests de multiples solveurs

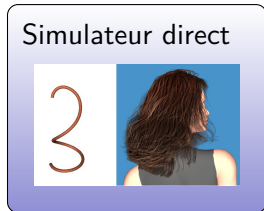
- Les solveurs globaux **ne passent pas à l'échelle**
→ Résolution itérative contact par contact
- Un échec sur 1 contact fait échouer la boucle
→ Effort porté sur le solveur **local**
- Sur 1 contact donné, réussite variable selon la méthode
→ Choix d'une méthode **hybride**
Newton non-régulier + solveur énumératif exact [Daviet et al. 2011]



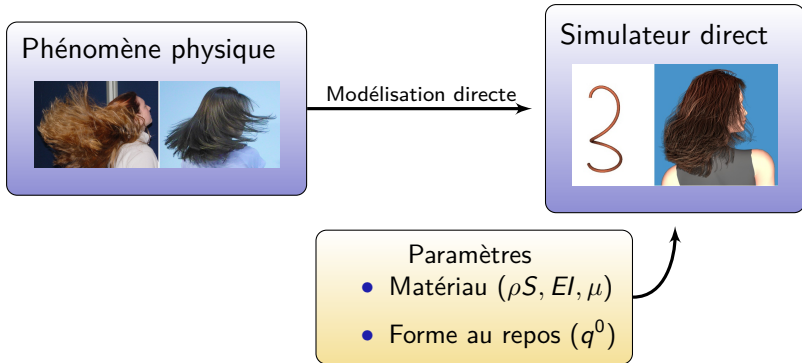
II. Modélisation inverse



Modélisation directe



II. Modélisation inverse



II. Modélisation inverse

Phénomène physique



Modélisation directe

Simulateur direct



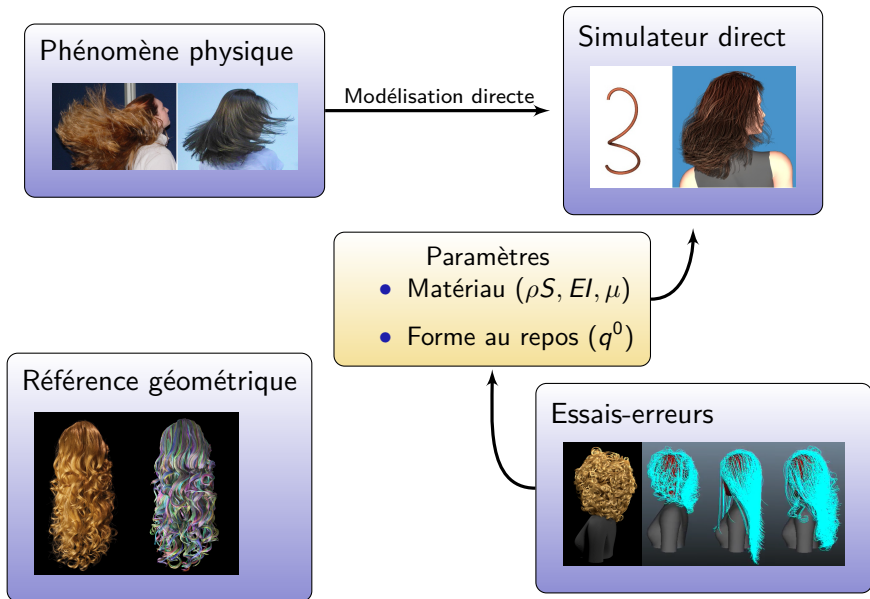
Paramètres

- Matériau ($\rho S, EI, \mu$)
- Forme au repos (q^0)

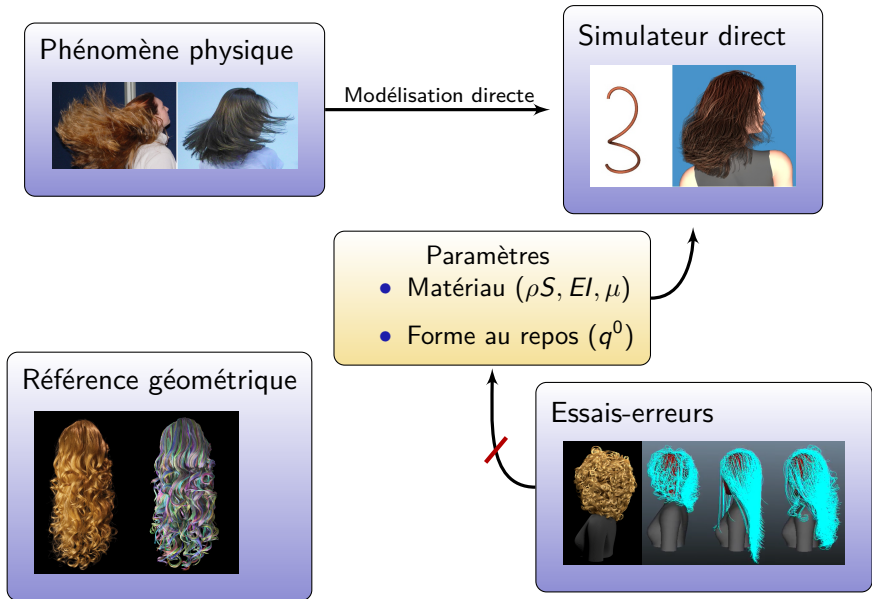
Référence géométrique



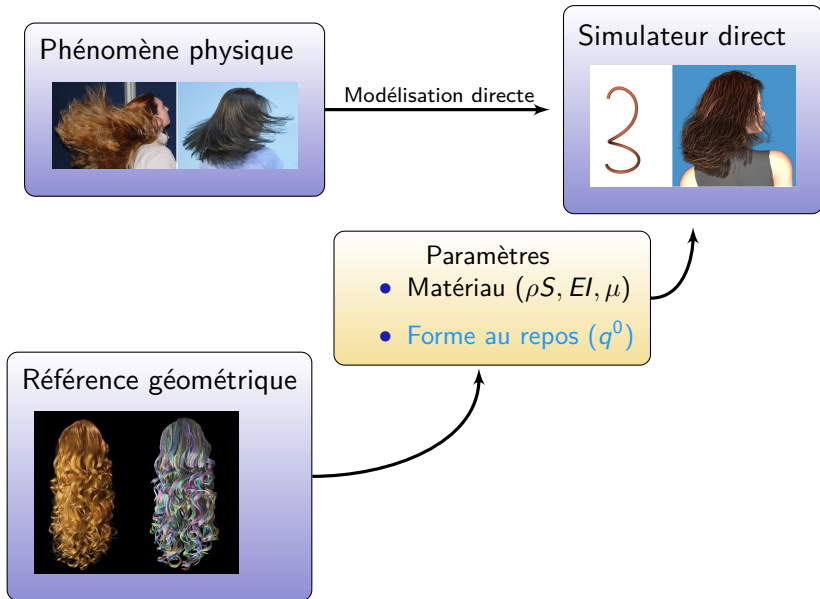
II. Modélisation inverse



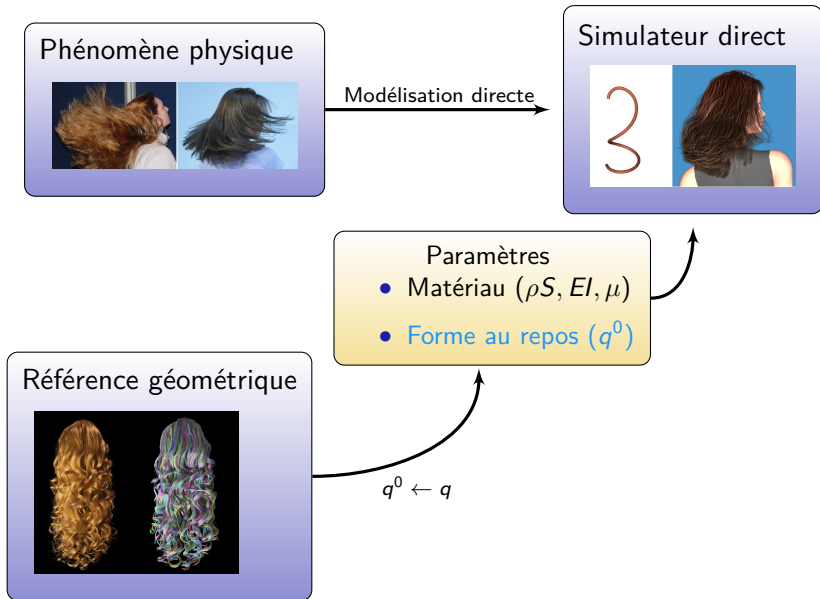
II. Modélisation inverse



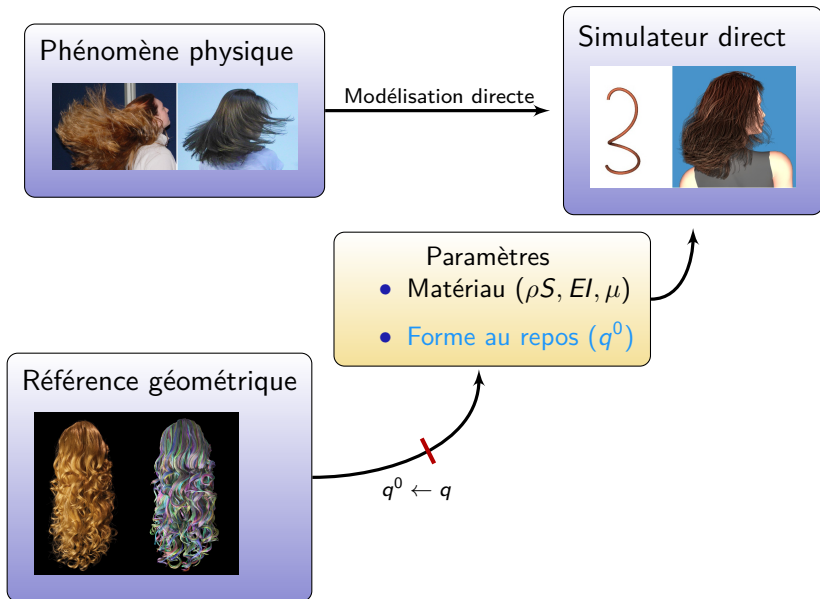
II. Modélisation inverse



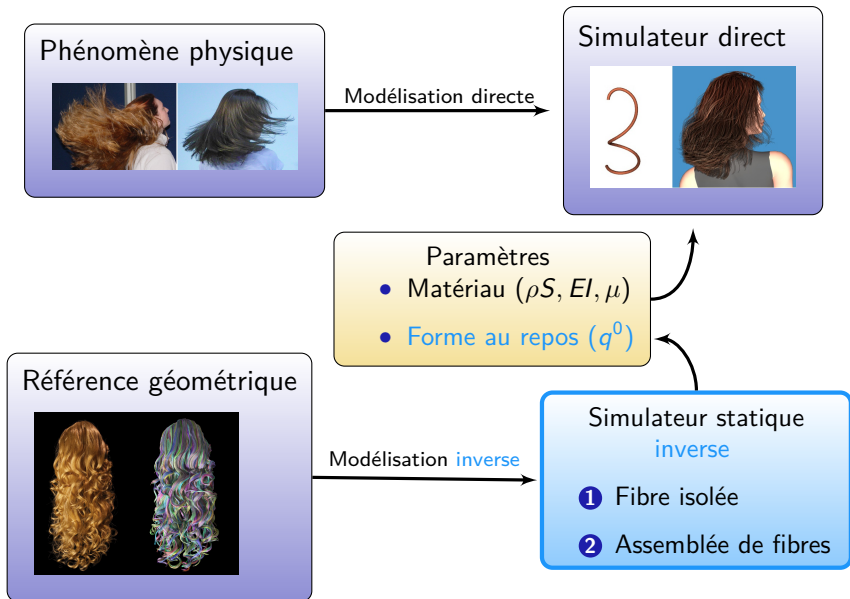
II. Modélisation inverse



II. Modélisation inverse



II. Modélisation inverse



Statique inverse d'un "Super-Modèle"

Objectif

Étant donné q , trouver q^0 , $E I$ and ρS
tels que l'état q soit un **équilibre stable**

Statique inverse d'un "Super-Modèle"

Objectif

Étant donné q , trouver q^0 , $E I$ and ρS
tels que l'état q soit un **équilibre stable**

Condition d'équilibre

$$\mathbb{K}(E I) \cdot (q - q^0) = F(q, \rho S)$$

→ Résoudre un système **linéaire** de taille $\sim 3 N$



Statique inverse d'un "Super-Modèle"

Objectif

Étant donné q , trouver q^0 , $E I$ and ρS
tels que l'état q soit un **équilibre stable**

Condition d'équilibre

$$\mathbb{K}(E I) \cdot (q - q^0) = F(q, \rho S)$$

→ Résoudre un système **linéaire** de taille $\sim 3 N$

Condition suffisante de stabilité

$$\frac{E I}{\rho S} \geq A(q)$$



Statique inverse d'un "Super-Modèle"

Objectif

Étant donné q , trouver q^0 , $E I$ and ρS
tels que l'état q soit un **équilibre stable**

Condition d'équilibre

$$\mathbb{K}(E I) \cdot (q - q^0) = F(q, \rho S)$$

→ Résoudre un système **linéaire** de taille $\sim 3 N$

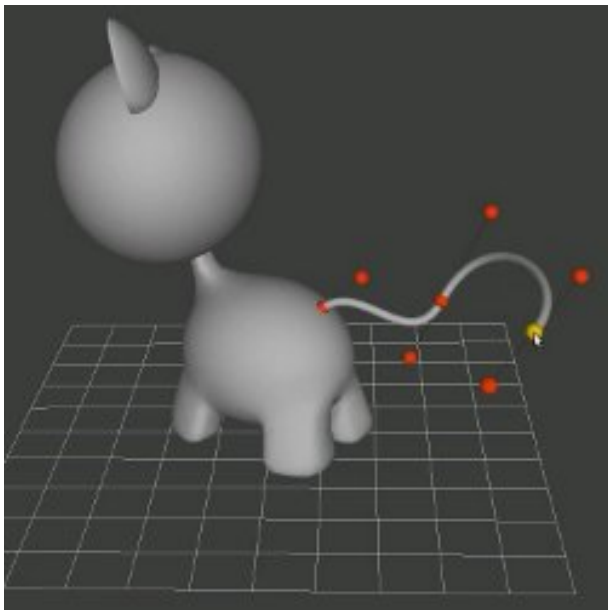
Condition suffisante de stabilité

$$\frac{E I}{\rho S} \geq A(q)$$

→ Calculer les valeurs propres d'une matrice
réelle symétrique

(Détails dans [Derouet-Jourdan et al. 2010])





Statique inverse d'un "Super-Modèle" : Conclusion

- L'inversion statique est **triviale** pour un "Super-Modèle" isolé

Statique inverse d'un "Super-Modèle" : Conclusion

- L'inversion statique est **triviale** pour un "Super-Modèle" isolé
- Unique difficulté d'ordre **géométrique** :
Convertir une courbe en **hélice/clothoïde** par morceaux ?

Statique inverse d'un "Super-Modèle" : Conclusion

- L'inversion statique est **triviale** pour un "Super-Modèle" isolé
- Unique difficulté d'ordre **géométrique** :
Convertir une courbe en **hélice/clothoïde** par morceaux ?
- Des algorithmes d'approximation **robustes** et **rapides** peuvent être conçus
Exemple : algorithme des tangentes flottantes [Derouet-Jourdan et al. 2013]

Modélisation inverse d'une chevelure

En entrée : ensemble de courbes géométriques

En sortie : courbures naturelles (q^0) des Super-Hélices



→ Interpréter la géométrie comme un ensemble de Super-Hélices à l'équilibre sous la gravité et les **contacts frottants**

Modélisation inverse de Super-Hélices

Sans contact

$$\mathbb{K} \cdot (q - q^0) = \mathbf{F}$$



$$q^0 = q - \mathbb{K}^{-1}\mathbf{F}$$

Modélisation inverse de Super-Hélices

Sans contact

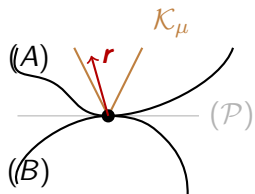
$$\mathbb{K} \cdot (q - q^0) = \mathbf{F}$$



$$q^0 = q - \mathbb{K}^{-1} \mathbf{F}$$

Avec **contact frottant**

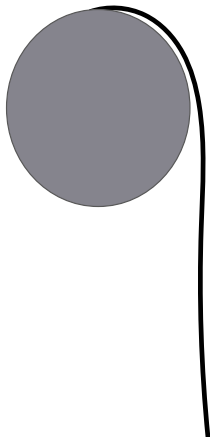
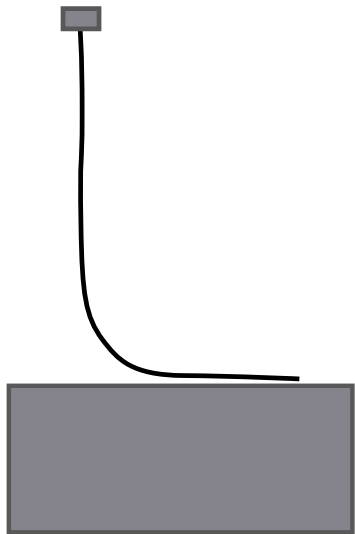
$$\begin{cases} \mathbb{K} \cdot (q - q^0) = \mathbf{F} + \mathbf{H}^T \mathbf{r} \\ \mathbf{r} \in \text{int}(\mathcal{K}_\mu) \text{ (cône de Coulomb)} \end{cases}$$



$$\begin{cases} q^0 = q - \mathbb{K}^{-1} \cdot (\mathbf{F} + \mathbf{H}^T \mathbf{r}) \\ \mathbf{r} \in \mathcal{K}_\mu \end{cases}$$

Problème **sous-déterminé**

Découplage de la gravité et des contacts



- Estimer q^0 : \underline{q}^0

- Estimer q^0 : \underline{q}^0
- Trouver la “meilleure” force r , i.e., telle que :

$$\begin{aligned} \min_r \quad & \frac{1}{2} \left\| \overbrace{q - \mathbb{K}^{-1}(\mathbf{H}^\top r + \mathbf{F})}^{q^0} - \underline{q}^0 \right\|^2 \\ \text{s.t.} \quad & r \in \mathcal{K}_\mu \end{aligned}$$

- Estimer q^0 : \underline{q}^0
- Trouver la “meilleure” force r , i.e., telle que :

$$\begin{aligned} \min_r \quad & \frac{1}{2} \left\| \overbrace{q - \mathbb{K}^{-1}(\mathbf{H}^\top r + \mathbf{F})}^{q^0} - \underline{q}^0 \right\|^2 + \gamma \|r\|^2 \\ \text{s.t.} \quad & r \in \mathcal{K}_\mu \end{aligned}$$

- γ : paramètre de régularisation

- Estimer q^0 : \underline{q}^0
- Trouver la “meilleure” force r , i.e., telle que :

$$\begin{aligned} \min_r \quad & \frac{1}{2} \left\| \overbrace{q - \mathbb{K}^{-1}(\mathbf{H}^\top r + \mathbf{F})}^{q^0} - \underline{q}^0 \right\|^2 + \gamma \|r\|^2 \\ \text{s.t.} \quad & r \in \mathcal{K}_\mu \end{aligned}$$

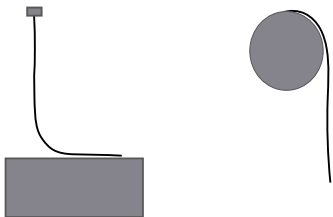
- γ : paramètre de régularisation

→ Peut être résolu grâce à notre solveur **direct** pour la dynamique !

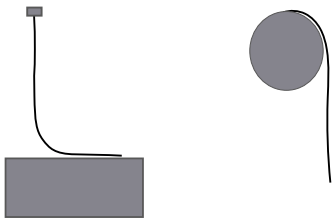
(Détails dans [Derouet-Jourdan et al. 2013])



Heuristique pour trouver q^0

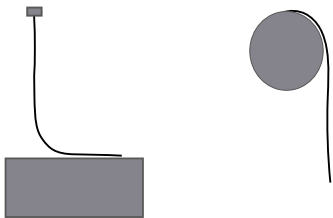


Heuristique pour trouver q^0



① $q^0 = q(L)$

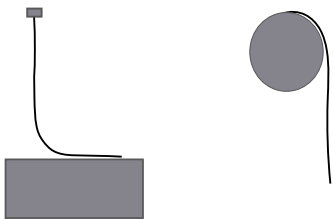
Heuristique pour trouver \underline{q}^0



① $\underline{q}^0 = q(L)$

② $\underline{q}^0 = q$

Heuristique pour trouver \underline{q}^0



① $\underline{q}^0 = q(L)$

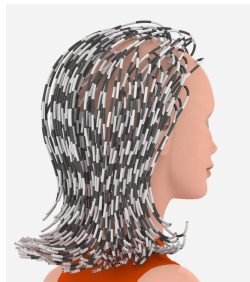
② $\underline{q}^0 = q$

Rappelons-nous que :

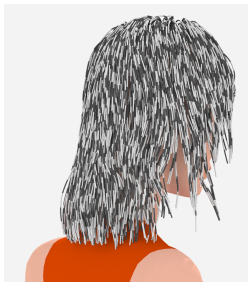
$$\begin{aligned} \min_{\mathbf{r}} \quad & \frac{1}{2} \left\| \overbrace{q - \mathbb{K}^{-1}(\mathbf{H}^\top \mathbf{r} + \mathbf{F})}^{q^0} - \underline{q}^0 \right\|^2 + \gamma \|\mathbf{r}\|^2 \\ \text{s.t.} \quad & \mathbf{r} \in \mathcal{K}_\mu \end{aligned}$$

→ Trouver \mathbf{r} qui minimise l'énergie élastique de la tige

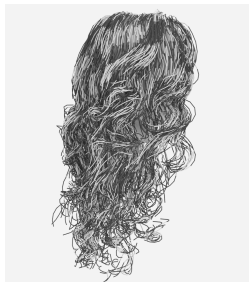
3 coiffures 



8922 contacts
5s



30381 contacts
19s



14358 contacts
15s

Beaucoup de limitations...

- Heuristique très simple pour estimer q^0
- Grande dépendance aux données d'entrée
- Pas de critère de stabilité (\neq cas isolé)
- Beaucoup de paramètres supposés connus

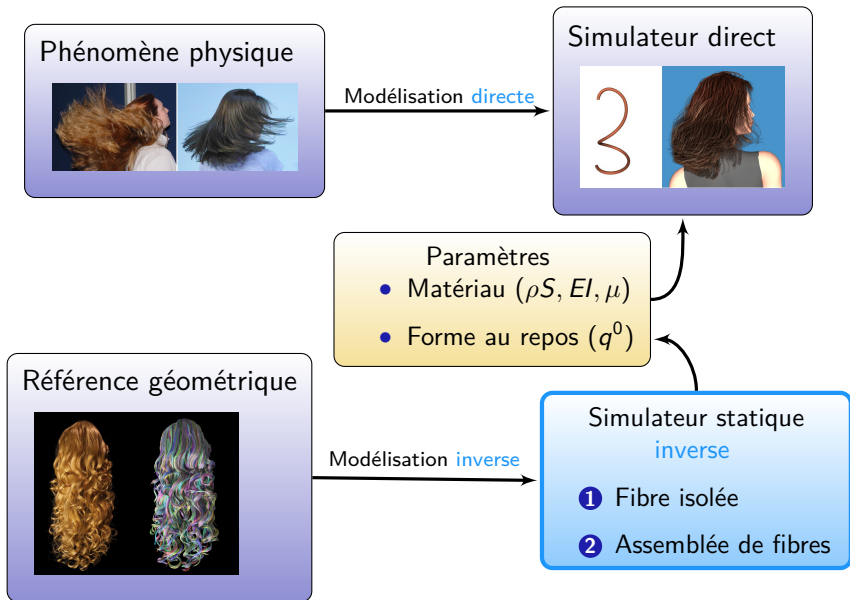
Beaucoup de limitations...

- Heuristique très simple pour estimer q^0
- Grande dépendance aux données d'entrée
- Pas de critère de stabilité (\neq cas isolé)
- Beaucoup de paramètres supposés connus

... Néanmoins

- Résultats plausibles
- La solution proposée est exactement un équilibre
- Inversion très rapide

Modélisation numérique directe et inverse : bilan



- Validation expérimentale

- **Validation** expérimentale
- Méthode directe : modèle alternatif basé sur un **continuum** ?

- **Validation** expérimentale
- Méthode directe : modèle alternatif basé sur un **continuum** ?
- Méthode inverse :
 - **Raffiner** l'identification (plusieurs poses, dynamique)
 - Extension possible aux **vêtements** ?



D-WOD



4D Views



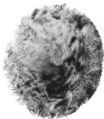
<http://www.inrialpes.fr/bipop/people/bertails/Papiers/Code>



Cloc, simulating the dynamics of arbitrary curly thin elastic rods.

This code is the reference implementation of our [Super Space Clothoids](#) paper.

Citation: Romain Casati and Florence Bertails-Descoubes, *Super Space Clothoids*, **ACM SIGGRAPH 2013**.



Approche, converting a space curve into a smooth piecewise helix.

This code is the reference implementation of our [3D Floating Tangents](#) paper.

Citation: Alexandre Derouet-Jourdan, Florence Bertails-Descoubes, and Joëlle Thollot, *Floating Tangents for Approximating Spatial Curves with G^1 Piecewise Helices*, **Computer-Aided Geometric Design 2013**.

Note: We have also been leveraging this code in our [Inverse Dynamic Hair Modeling](#) paper to convert splines into the geometry of super-helices.



Bogus, a fast and robust solver for capturing frictional contact between many Lagrangian systems with exact Coulomb friction.

This code is a new reimplementation by [Gilles Daviet](#) and serves as a reference code for our [Hybrid Iterative Solver](#) paper. The method significantly improves robustness and scaling up compared to [Double Loop](#).

Citation: Gilles Daviet, Florence Bertails-Descoubes, and Laurence Boissieux, *A Hybrid Iterative Solver for Robustly Capturing Coulomb Friction in Hair Dynamics*, **ACM SIGGRAPH Asia 2011**.

Note: We have also been leveraging this code in our [Super Space Clothoids](#) paper to simulate dry frictional contact and in our [Inverse Dynamic Hair Modeling](#) paper to efficiently solve the inverse problem formulated as a large second-order cone quadratic program.

Merci à

- Alexandre Derouet-Jourdan
- Romain Casati
- Gilles Daviet

Merci à

- Alexandre Derouet-Jourdan
- Romain Casati
- Gilles Daviet

Merci pour votre attention !